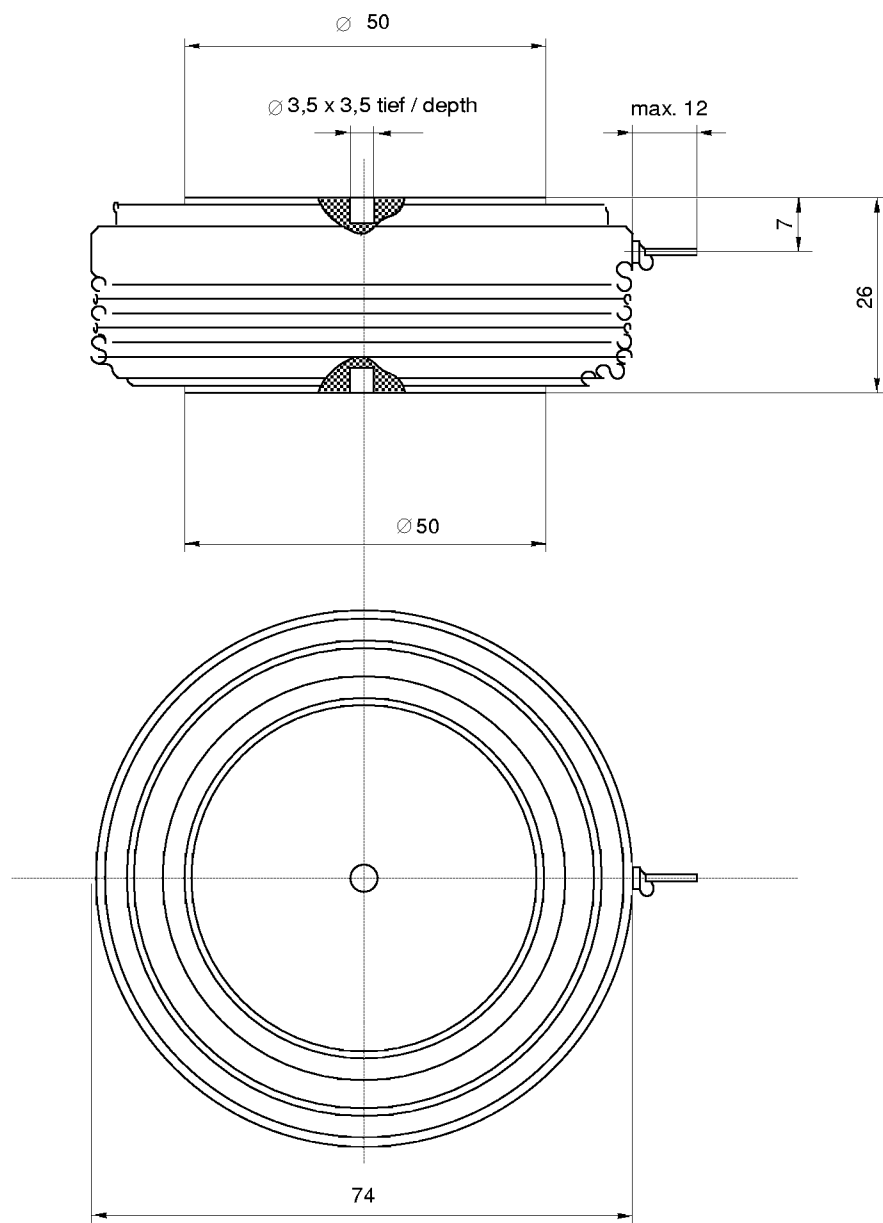


European Power-
Semiconductor and
Electronics Company
GmbH + Co. KG

Leistungsgleichrichterdioden Power Rectifier Diodes D 1800 N

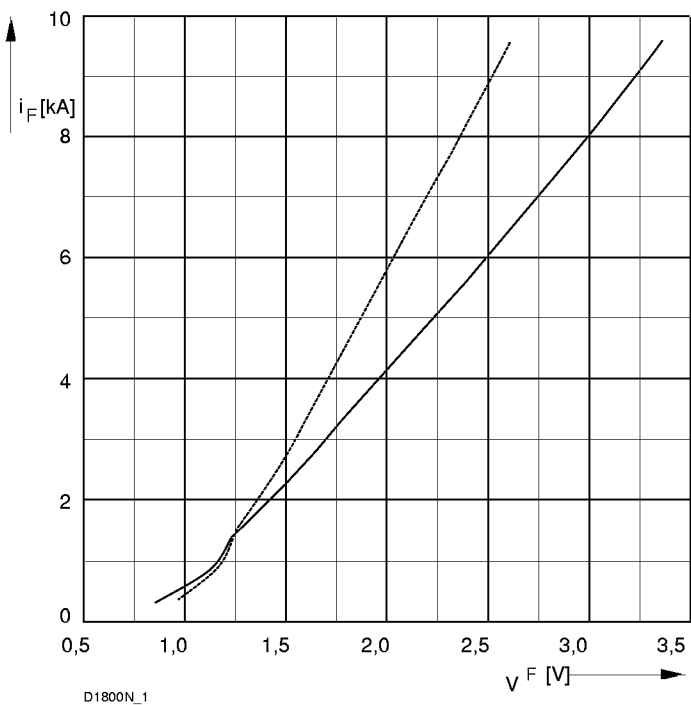


D 1800 N

Elektrische Eigenschaften						
Electrical properties						
Höchstzulässige Werte		Maximum rated values				
Periodische Spitzensperrspannung	repetitive peak reverse voltage	$t_{vj} = -40^{\circ}\text{C} \dots t_{vj\max}$	V_{RRM}	3200, 3600, 4000	V	
				4400, 4800	V	
Stoßspitzensperrspannung	non-repetitive peak reverse voltage	$t_{vj} = +25^{\circ}\text{C} \dots t_{vj\max}$	$V_{RSM} = V_{RRM}$	+ 100	V	
Durchlaßstrom-Grenzeffektivwert	RMS forward current		I_{FRMSM}	3,85	kA	
Dauergrenzstrom	mean forward current	$t_c = 100^{\circ}\text{C}$	I_{FAVM}	1,8	kA	
		$t_c = 61^{\circ}\text{C}$		2,45	kA	
Stoßstrom-Grenzwert	surge forward current	$t_{vj} = 25^{\circ}\text{C}, t_p = 10 \text{ ms}$	I_{FSM}	35	kA ¹⁾	
		$t_{vj} = t_{vj\max}, t_p = 10 \text{ ms}$		275	kA	
Grenzlastintegral	$I^2 t$ -value	$t_{vj} = 25^{\circ}\text{C}, t_p = 10 \text{ ms}$	$I^2 t$	6125	kA ^{2)s}	
		$t_{vj} = t_{vj\max}, t_p = 10 \text{ ms}$		3781	kA ^{2)s}	
Charakteristische Werte		Characteristic values				
Durchlaßspannung	on-state voltage	$t_{vj} = t_{vj\max}, i_F = 7,4 \text{ kA}$	V_T	max.	2,82	V
Schleusenspannung	threshold voltage	$t_{vj} = t_{vj\max}$	$V_{T(TO)}$		0,85	V
Ersatzwiderstand	slope resistance	$t_{vj} = t_{vj\max}$	r_T		0,253	mΩ
Sperrstrom	reverse current	$t_{vj} = t_{vj\max}, V_R = V_{RRM}$	i_R	max.	100	mA
Thermische Eigenschaften		Thermal properties				
Innerer Widerstand	thermal resistance, junction to case	beidseitig/two-sided, $\Theta = 180^{\circ} \sin$	R_{thJC}	max.	0,0169	°C/W
		beidseitig/two sided, DC		max.	0,0160	°C/W
		Anode/anode, $\Theta = 180^{\circ} \sin$		max.	0,0329	°C/W
		Anode/anode, DC		max.	0,0320	°C/W
		Kathode/cathode, $\Theta = 180^{\circ} \sin$		max.	0,0329	°C/W
		Kathode/cathode, DC		max.	0,0320	°C/W
Übergangs-Wärmewiderstand	thermal resistance, case to heatsink	beidseitig /two-sided einseitig /single-sided	R_{thCK}	max.	0,0025	°C/W
				max.	0,0050	°C/W
Höchstzul. Sperrsichttemperatur	max. junction temperature		$t_{vj\max}$		160	°C
Betriebstemperatur	operating temperature		$t_{c\ op}$		-40...+160	°C
Lagertemperatur	storage temperature		t_{stg}		-40...+160	°C
Mechanische Eigenschaften		Mechanical properties				
Si-Element mit Druckkontakt	Si-pellet with pressure contact	$\varnothing = 58 \text{ mm}$				
Anpreßkraft	clamping force	Gehäuseform/case design T	F		24...60	kN
Gewicht	weight		G	typ.	600	g
Kriechstrecke	creepage distance				30	mm
Feuchtekategorie	humidity classification	DIN 40040				C
Schwingfestigkeit	vibration resistance	f = 50 Hz			50	m/s ²
Maßbild	outline					Seite/page

¹⁾ Gehäusegrenzstrom 32 kA (50 Hz Sinushalbwelle) / Current limit of case 32 kA (50 Hz sinusoidal half-wave)

D1800N



Bild/Fig. 1
Grenzdurchlaßkennlinie
Limiting forward characteristic $i_F = f(V_F)$

— $t_j = 0^\circ\text{C}$
— $t_j = 25^\circ\text{C}$

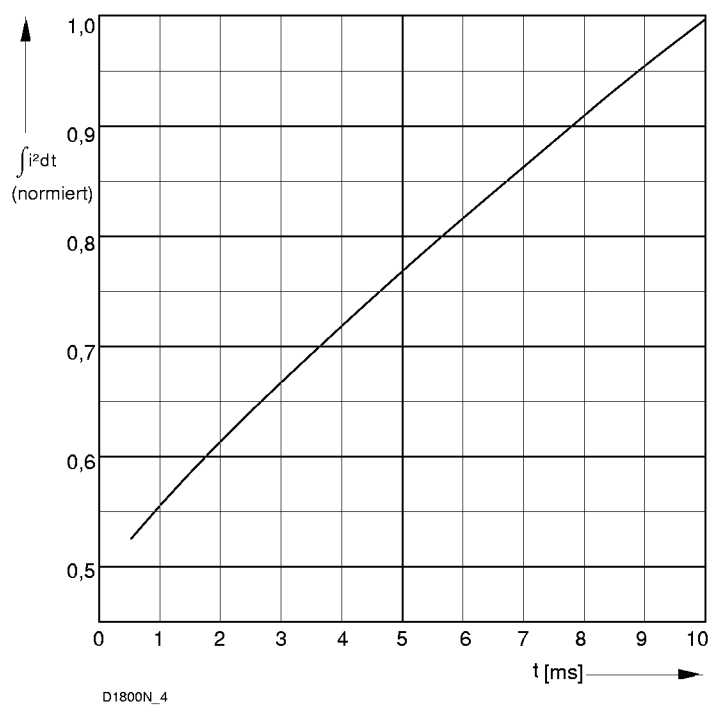


Bild / Fig. 2
Normiertes Grenzlastintegral / Normalized i^2t
 $\int i^2 dt = f(t_p)$

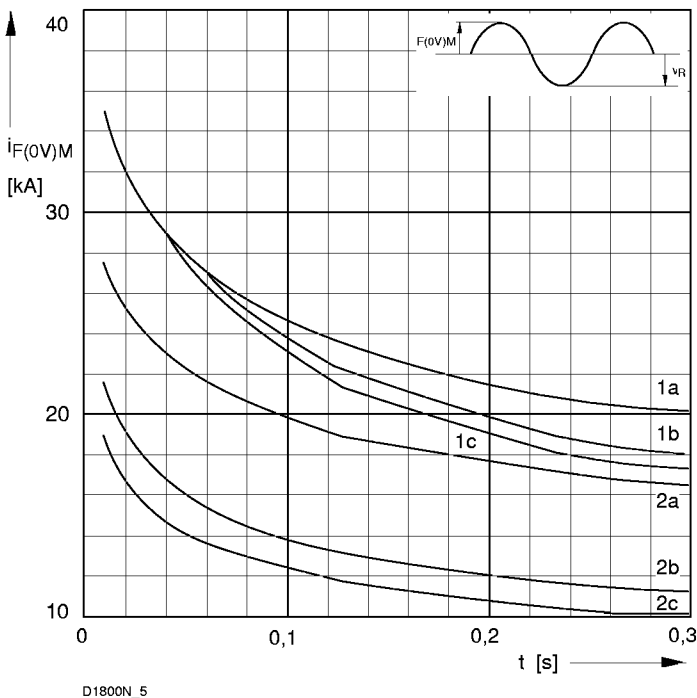


Bild / Fig. 3
Grenzstrom / Maximum overload forward current $i_{F(0V)M} = f(t)$

1 - $i_{FAV(\text{vor})} = 0 \text{ A}; t_{vj} = t_c = 25^\circ\text{C}$
2 - $i_{FAV(\text{vor})} = \text{A}; t_c = {}^\circ\text{C}; t_{vj} = {}^\circ\text{C}$
a - $VR \leq 50 \text{ V}$
b - $VR = V_{RRM}$
c - $VR = 0.8 V_{RRM}$

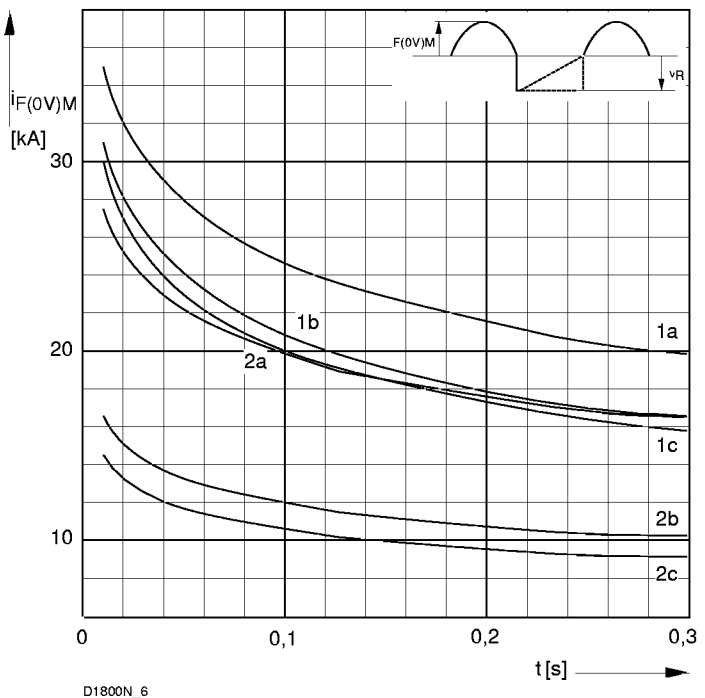
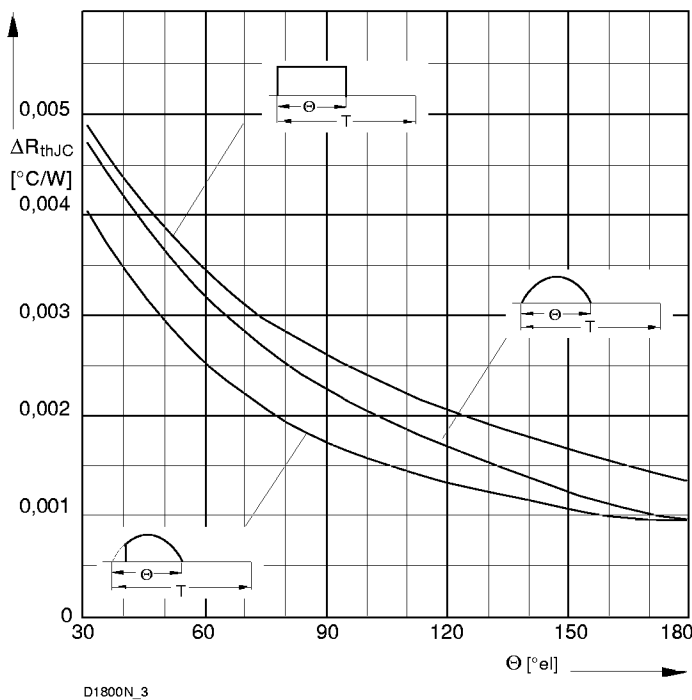


Bild / Fig. 4
Grenzstrom / Maximum overload forward current $i_{F(0V)M} = f(t)$

1 - $i_{FAV(\text{vor})} = 0 \text{ A}; t_{vj} = t_c = 25^\circ\text{C}$
2 - $i_{FAV(\text{vor})} = \text{A}; t_c = {}^\circ\text{C}; t_{vj} = {}^\circ\text{C}$
a - $VR \leq 50 \text{ V}$
b - $VR = 0.5 V_{RRM}$
c - $VR = 0.8 V_{RRM}$

D1800N



D1800N_3

Bild / Fig. 5

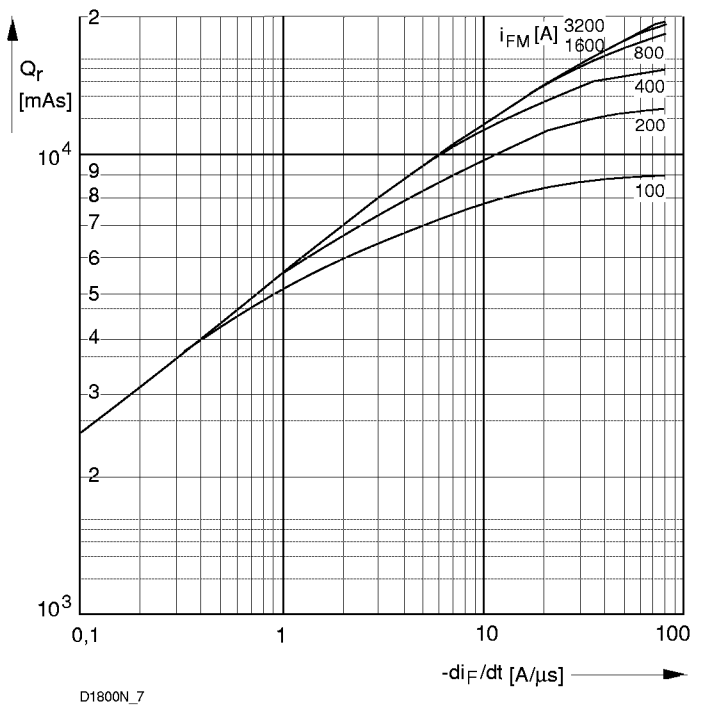
Differenz zwischen den Wärmewiderständen

für Pulsstrom und DC

Difference between the values of thermal resistance for

pulse current and DC

Parameter: Stromkurvenform / Current waveform



D1800N_7

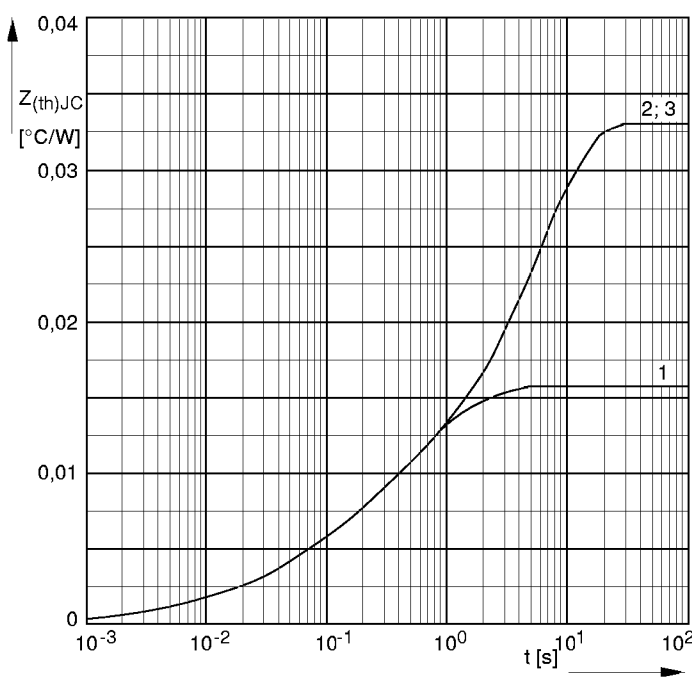
Bild / Fig. 6

Sperrverzögerungsladung / Recovered charge $Q_r = f(-di/dt)$

$t_{vj} = t_{vjmax}; V_R \leq 0,5 V_{RRM}; V_{RM} = 0,8 V_{RRM}$

Beschaltung / Snubber: $C = \mu\text{F}; R = \Omega$

Parameter: Durchlaßstrom / Forward current i_{FM}



D1800N_2

Bild / Fig. 7

Transienter innerer Wärmewiderstand

Transient thermal impedance $Z_{thJC} = f(t)$, DC

1 - Beidseitige Kühlung / Two-sided cooling

2 - Anodenseitige Kühlung / Anode-sided cooling

3 - Kathodenseitige Kühlung / Cathode-sided cooling

Analytische Elemente des transienten Wärmewiderstandes Z_{thJC} für DC
Analytical elements of transient thermal impedance Z_{thJC} for DC

Pos. n	1	2	3	4	5	6	7
R_{thn} $^{\circ}\text{C}/\text{W}$	0,000114	0,003146	0,00934	0,0242	0,0762	0,195	0,112
τ_n [s]	0,000018	0,000282	0,00282	0,0132	0,265	1,2	7,57

Analytische Funktion / Analytical function:

$$Z_{thJC} = \sum_{n=1}^{n_{\max}} R_{thn} (1 - \text{EXP}(-t/\tau_n))$$